

جامعة بوليتكنك فلسطين



كلية الهندسة والتكنولوجيا
دائرة الهندسة الميكانيكية

مشروع تخرج

اسم المشروع

تصميم وبناء وحدة تبريد
تعمل على عدد من الضواغط بالتوازي

إعداد

رزق محمود و أحمد الخطيب

المشرف

د. إسحق سدر

الخليل فلسطين
تشرين ثاني، 2007م
جامعة بوليتكنك فلسطين



ملخص المشروع

الحمد لله رب العالمين والصلاة والسلام على سيدنا محمد أشرف الأنبياء والمرسلين وعلى آله وصحبه أجمعين ومن سار على هديه إلى يوم الدين وبعد،

نظراً للتطور العلمي المطرد الذي طرأ على مجال التبريد والتكييف، وبسبب التوسع الكبير في التطبيقات العملية المتعلقة في هذا المجال والذي عمّت شرائح كبيرة من الناس لم تكن من قبل تعباً به، فإننا وجدنا أن نركز مشروعنا في هذا الموضوع الحيوي لما له من أهمية متزايدة في سوق العمل الفردي والتجاري على حد سواء.

ولقد قسمنا المشروع إلى أربعة فصول تعالج المفاصل الرئيسية فيه. ففي الفصل الأول ركزنا على مقدمة تبين مهمات التبريد الأساسية، والهدف من ربط وحدات التبريد على التوازي، وكيفية بناء وحدات التبريد بالأبعاد والمقاسات المناسبة.

وفي الفصل الثاني تناولنا مصادر وحسابات أحمال التبريد وبيننا أربعة مصادر لتوزيع الأحمال المتعلقة بالجدران وتغير الهواء والبضائع والأشخاص والأجهزة. واستخدمنا القوانين اللازمة لحسابات حقيقية لمجموع المفايد الحرارية من جميع تلك المصادر.

وفي الفصل الثالث ناقشنا موضوع تحليل وحسابات دورة التبريد من حيث اختيار الدورة واختيار الوسيط واختيار الظروف وأجرينا الحسابات المتعلقة بالتأثير التبريدي وبكمية الوسيط وبقدرة الضواغط ومعامل الأداء وبكمية الشغل وبمعادل التدفق الحجمي وبالقدرة التبريدية وباختيار المكثف والمبخر والضواغط وصمام التمدد.

وفي الفصل الرابع استعرضنا مكونات وعناصر دورة التبريد وشرحنا فيه تركيبها ووظائفها بإيجاز.

وفي كل هذه الفصول الأربعة أرفقنا رسومات وجداول ومعادلات تترجم المعلومات النظرية الصماء إلى مفاهيم عملية تجسد تلك المعلومات على أرض الواقع.

وإضافة إلى هذا البحث الكتابي قدمنا نموذجاً مجسماً لوحدة تبريد بحجم مصغر يتم تشغيلها في الموقع كأنموذج للتعبير عن وحدات التبريد الكبيرة.

فهرست المحتويات

الصفحة	الموضوع
ت	الإهداء
ث	شكر وتقدير
ج	ملخص المشروع
ح	فهرست المحتويات
ذ	قائمة الجداول
ر	قائمة الأشكال
ز	قائمة الرموز
س	الجدول الزمني للمشروع
ش	تكلفة النموذج والمصرفيات
	<u>الفصل الأول</u>
1	1.1 مقدمة
1	2.1 هدف المشروع
4	3.1 أبعاد ومواصفات غرف التبريد
	<u>الفصل الثاني</u>
9	أحمال التبريد
9	1.2 مصادر أحمال التبريد
9	2.2 أحمال التبريد من الحرارة المكتسبة خلال الجدران
11	3.2 حساب المفايد عبر الغرفة
11	1.3.2 حساب المفايد عبر السقف
12	2.3.2 حساب المفايد في الجدار
13	3.3.2 حساب المفايد في الأرضية
14	4.2 حساب أحمال البضائع
15	5.2 حساب الحمل نتيجة تغير الهواء
16	6.2 حساب أحمال الإنارة والحركات والأشخاص
17	1.6.2 حساب حمل الإنارة
18	2.6.2 حساب حمل الحركات
	3.6.2 حساب حمل الأشخاص
	7.2 الحمل الكلي

الفصل الثالث

19	تحليل وحساب دورة التبريد
19	1.3 مقدمة
19	2.3 وسيط التبريد Redrigerant
20	3.3 اختيار الظروف التصميمية للدورة
23	4.3 اختيار الدورة الرئيسية
24	5.3 درجات الحرارة التصميمية
25	6.3 حساب عناصر دورة التبريد
26	1.6.3 التأثير التبريدي للدورة
26	2.6.3 كمية وسيط التبريد
27	3.6.3 قدرة الضواغط النظرية
27	4.6.3 كمية الشغل في الضاغط
27	5.6.3 معدل الأداء
30	6.6.3 معدل التدفق الحجمي
31	7.6.3 القدرة التبريدية
33	7.3 اختيار المكثف
	8.3 اختيار المبخر
	9.3 اختيار الضاغط
	10.3 اختيار صمام التمدد

الفصل الرابع

34	أجزاء دورة التبريد
34	1.4 مقدمة
34	2.4 تركيب ووظيفة عناصر التبريد
35	1.2.4 الضاغط
36	2.2.4 فاصل الزيت
36	3.2.4 المكثف
37	4.2.4 المستقبل
37	5.2.4 المنقي
38	6.2.4 زجاجة رؤية السائل
38	7.2.4 الصمام الكهرومغناطيسي (سولونويد فانف)
39	8.2.4 صمام التمدد
40	9.2.4 المبخر
40	
41	
41	
41	

43
43
44
44

قائمة المحتويات
Table of Contents

10.2.4 اجمع

11.2.4 المنظم الحراري

12.2.4 قاطع الحمل

13.2.4 مفاتيح كهرومغناطيسية (ريليات)

14.2.4 مفتاح ضغط

15.2.4 الأنايب

16.2.4 محركات المراوح

17.2.4 منظم الضغط

18.2.4 صمام الخدمة

45

المراجع الأجنبية

45

المراجع العربية

قائمة الجداول
List of Tables

الصفحة	الموضوع	رقم الجدول
10	مقاومة الفيلم الداخلي R_i	(1.2)
10	معامل توصيل الحرارة للمادة	(2.2)
17	كمية الحرارة الناتجة عن الأشخاص	(3.2)
20	درجة الحرارة والضغط والانتالي	(1.3)
28	معامل التصحيح للضواغط المفتوحة	(2.3)
29	معامل انبعاث الحرارة من الضواغط المفتوحة	(3.3)
30	اختلافات الانبعاث الحراري الكلي	(4.3)
31	سعة وحدة التبريد وتصنيفها	(5.3)
32	مواصفات وسيط التبريد للضواغط المفتوحة	(6.3)
34	أسماء الأجزاء الرئيسية في دورة التبريد ورموزها	(1.4)

قائمة الأشكال

List of figures

الصفحة	الموضوع	رقم الشكل
2	خطوط السحب	(1.1)
3	خطوط الدفع	(2.1)
5	مقطع عرضي لبناء الحائط	(3.1)
5	مقطع عرضي للأرضية	(4.1)
18	دورة انضغاط وسيط التبريد في دورة التبريد	(1.3)
18	مخطط مبسط للإنتالبي والضغط في الدورة	(2.3)
21	مخطط مبسط لدرجة الحرارة والانتالبي	(3.3)
22	ملف المبخر	(4.3)
26	مخطط مبسط لدرجة الحرارة والانتالبي	(5.3)
29	مخطط تفصيلي لدورة تبريد	(1.4)
30	مخطط لفواصل زيت	(2.4)
31	مستقبل (مخزان)	(3.4)
32	مجمع (مخزان)	(4.4)
37	مخطط الدائرة الكهربائية في دورة التبريد	(1.5)
40	العلاقة بين الضغط و(الإنتالبي)	(2.5)
41	العلاقة بين درجة الحرارة والانتروبي	(3.5)

بين ضغط المبرد

1

درجة حرارة التبريد

T_i

معدل تدفق الحرارة للمبرد

K

التبريد في برودة مخزونة بدرجة حرارة الداخل للمبرد ودرجة حرارة التبريد في

T₀

الحرارة

Coop's Power

Work Cycle

C.O.P.

Volume Of

Flowrate(V)

قائمة الرموز List of symbols

الرمز	مدلول الرمز
Q	معدل الحرارة المنتقلة إلى داخل الجدار
U	معامل انتقال الحرارة الكلي
A	مساحة السطح الخارجي للحائط
Δt	الفرق في درجات الحرارة خلال الحائط
R	المقاومة الكلية الحرارية
h_{out}	معامل انتقال الحرارة بالحمل للجدار الخارجي (حائط، سقف، أرضية)
h_{in}	معامل انتقال الحرارة بالحمل إلى الجدار الداخلي للسقف والأرضية
δ_{st}	سمك طبقة صفيحة الفولاذ
δ_{ins}	سمك طبقة العزل
R_{st}	معامل توصيل الحرارة لفولاذ المقارم للصدأ
R_{ins}	معامل توصيل الحرارة للعازل
m	كتلة المادة
cp	الحرارة النوعية
h_o	الإنثالي للهواء الخارجي
h_i	الإنثالي للهواء الداخلي
T	درجة حرارة الهواء
t	زمن معالجة البضائع
T_r	درجة حرارة المرجعية للهواء
K	معامل انتقال الحرارة للمادة
TD	الفرق في درجة الحرارة بين حرارة الهواء الداخل للحميز وحرارة وسيط التبريد إلى المبخر
Comp.Power	قدرة الضواغط النظرية
Work Cycle	كمية الشغل للضاغط
C.O.P.	معامل الأداء
Volume Of Flowrate(V)	معدل التدفق الحجمي

الجدول الزمني للمشروع

رقم	المهمة	الزمن المطلوب (أسبوع)														
		1	2	3	4	5	6	7	8	9	10	11	12	13	14	15
1	قراءة ومراجعة متن المشروع	■	■	■	■	■										
2	بحث الفكرة ودراسة جوانبها			■	■	■	■									
3	حساب العمل الحراري للمشروع							■	■	■						
4	اختيار وسط التبريد وتحضير النموذج عن المشروع										■	■	■			
5	تحضير العرض وبناء النموذج										■	■	■	■	■	■
6	الامتدادات والملاحظات والطباعة									■	■	■	■	■	■	■

الميزانية جدول تكلفة النموذج والمصروفات

الرقم	القطعة	التكلفة NIS	العدد	مجموع التكلفة
1	طباعة وتصوير	400		400
2	نقل ومواصلات	400		400
3	بناء نموذج ويشمل			
4	ضماغط	400	2	800
5	مبخر	100	2	160
7	مكثف	100	1	100
8	ثيرموسنات	35	2	70
9	سولونويد	50	2	100
10	مروحة	50	2	60
11	مفتاح ضغط	60	3	120
12	انابيب نحاس وفلتر	80		80
12	وسيط تبريد	50		40
14	هيكل جسم خارجي	100		100
15	مجموع التكاليف			2420

مقدمة

(1.1) أهمية التبريد.

أعمال التبريد الحديثة لها تطبيقات كثيرة، ومن أهمها وبشكل خاص ما يتعلق بحفظ الأطعمة. فمن المعروف أن معظم الطعام إذا حُفظ في درجة حرارة الغرفة العادية فإنه يتعفن بسرعة، وذلك بسبب النمو السريع للبكتيريا.

درجة حرارة التبريد الاعتيادية تتراوح بين 2° - 4° درجات مئوية، ففي مثل هذه الدرجات وفي مثل هذا الجو البارد نسبياً تنمو البكتيريا بشكل أبطأ، وعليه فإن الطعام يحفظ فترة أطول، وهذا يحقق معنى كون التبريد يحفظ الطعام من التعفن وذلك من خلال المحافظة عليه بارداً.

(2.1) هدف المشروع:

يهدف المشروع إلى تصميم وبناء وحدة تبريد تعمل بواسطة عدد من الضواغط على التوازي ويمكن التحكم في عمل دورة التبريد بطريقتين وهما التحكم بدرجة الحرارة في غرفة التبريد والتحكم بضغط وسيط التبريد في الدورة، وحسب الحمل الموجود داخل الحيز للمبرد يشغل ضاغط أو أكثر.

إن التوسع في أعمال التبريد واستخداماتها في حياة الإنسان أخذت أشكالاً وسعات كثيرة للغاية، وبما أن احتياجات الناس متعددة ومتنوعة في هذا المجال فإن النظرة الاقتصادية في هذا الحقل أصبحت مهمة جداً. ومن هنا تبرز أهمية المشروع وهي استخدام ضواغط متعددة أصغر حجماً من استخدام ضاغط واحد كبير الحجم، وهذا التعدد في الضواغط الصغيرة أدى إلى جعل إمكانية إجراء أعمال الصيانة والتصليح دون تعطيل أو ضرر باقي الدورة عن العمل أكثر نجاعة وفاعلية. وهذه هي إحدى أهم الفوائد في هذا الأسلوب.

ويمكن تلخيص هدف المشروع بالنقاط التالية:

- 1- استخدام ضواغط صغيرة الحجم وقليلة القدرة بدلاً من استخدام ضاغط واحد كبير الحجم وبقدرة كبيرة وفي مشروعنا استخدمنا ضاغطين.
- 2- في حالة عطب أحد الضواغط فإن عملية التبريد لا تتوقف كلية بل إنها تنقل إلى النصف ويبقى ضاغط واحد يشغل الدورة.
- 3- في حالة وجود حاجة لزيادة للتبريد فإن ربط الضواغط على التوازي يتيح المجال لإضافة ضواغط جديدة وذلك بحسب الحاجة.

والشكلان التاليان يبينان كيفية اشتراك الضواغط في خطوط السحب والضغط:



شكل (1.1): خطوط السحب (المواسير ذات الأقطار الأكبر).



شكل (2.1): خطوط الدفع (أقل قطراً من خطوط السحب).

(3.1) أبعاد ومواصفات غرف التبريد:

يُفترض بناء غرف تبريد وعددها اثنتان لفندق مكون من قرابة 100 غرفة نوم سياحية، وقاعة استقبال وقاعة أفراح ومؤتمرات، وكافتيريا للوجبات السريعة وغرفة طعام رئيسة ومطبخ رئيسي. لذلك فيفترض أن يكون كل طعام الفندق وألبانه محفوظاً في هاتين الغرفتين واللذان يجب أن تكون سعتهما كافية. سيتم بناء نموذج مصغر للمشروع يحاكي المشروع بحجمه الطبيعي .

(1.3.1) أما أبعاد الغرف المبردة المقترحة هي:

الطول = 3.5م.

العرض = 3م.

الارتفاع = 2.5م.

أبعاد الباب:

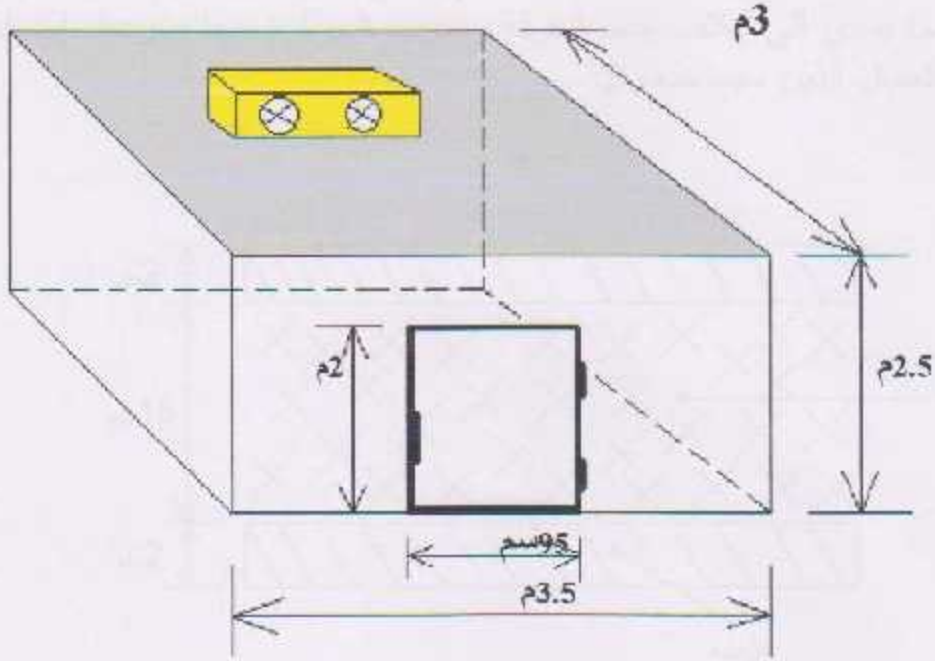
الارتفاع = 2م.

العرض = 95سم.

(2.3.1) أبعاد الجدار: إن سمك الحائط يبلغ 10.2سم منها 10سم من مادة البليوريتان العازلة، و0.2سم من مادة الصفيح المعدني المصنوع من الفولاذ المطلي بطبقة ألـ (Stainless Steel) من جهتي الجدار بسماكة 1ملم من كل جهة للجدران والسقيفة.

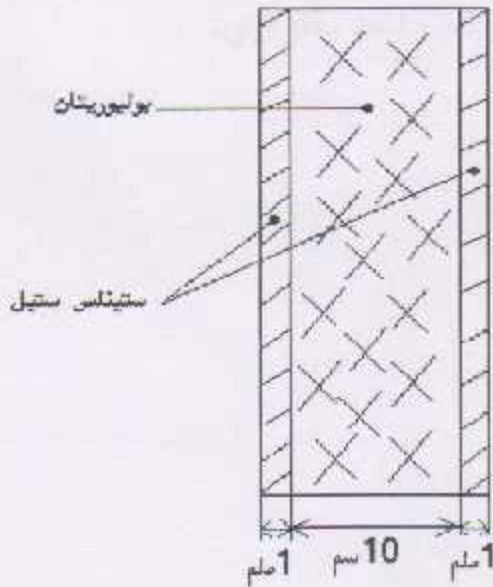
أما بالنسبة للأرضية فسمك الطبقة العازلة لها 15سم، بينما سماكة الصفيح المعدني لها 2ملم وذلك لكي تتحمل الأوزان التي ستوضع عليها.

والشكل التالي يبين منظورا للشكل الخارجي لكل غرفة مبينا عليه المقاسات والأبعاد.



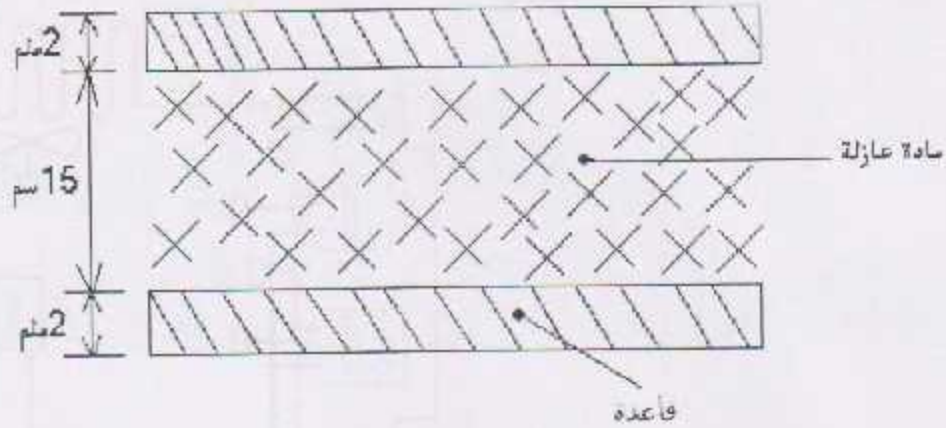
شكل (3.1): منظور يبين الشكل الخارجي لغرفة التبريد

والشكل التالي يبين مقطع عرضي للمواد المستخدمة في تركيب الجدار.



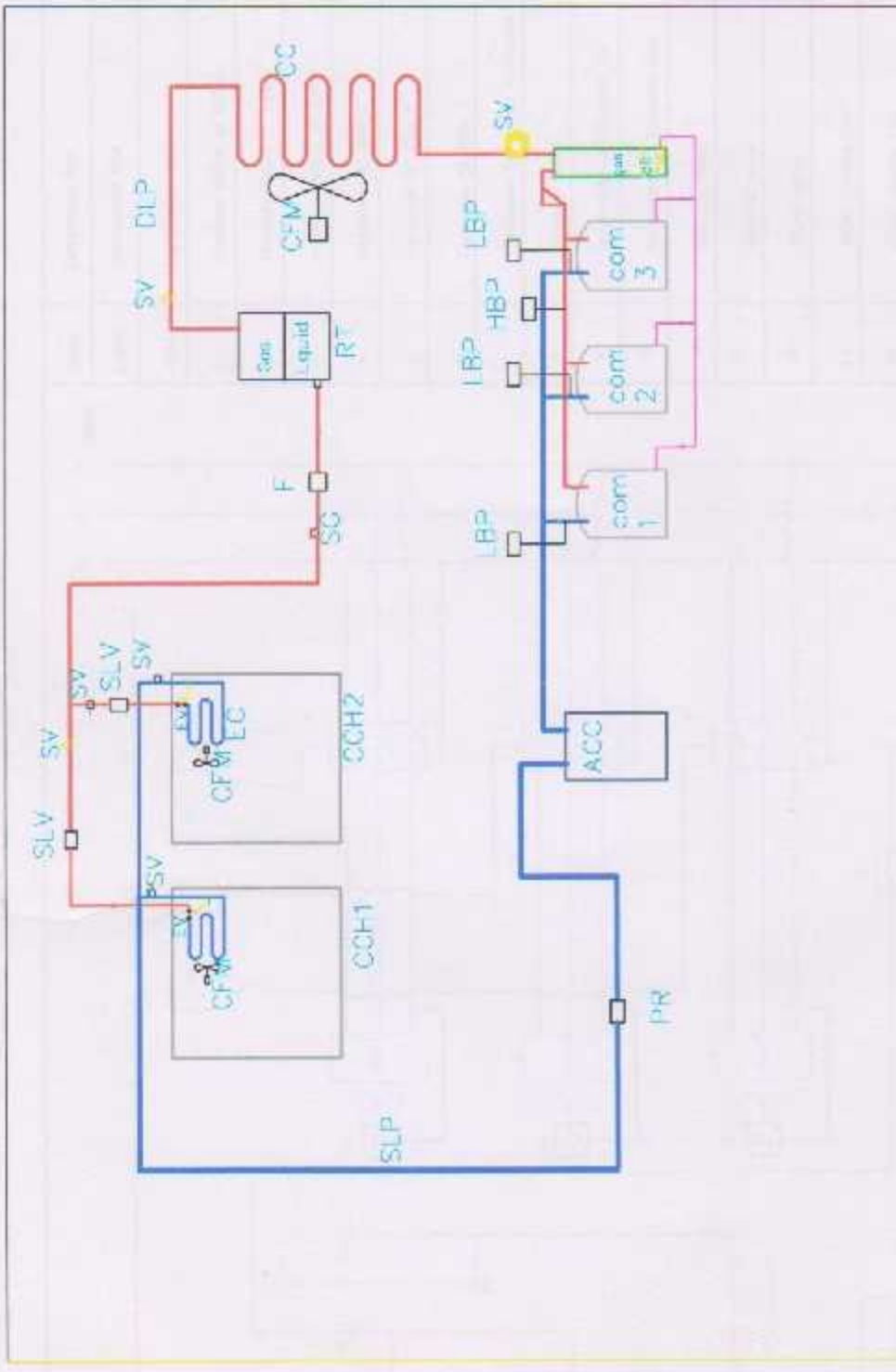
شكل (4.1): مقطع عرضي لبناء الحائط

أما الأرضية فإن سماكة موادها تختلف بسبب الأحمال والأوزان التي تؤثر عليها، فلا بد أن تكون مقاومة للأحمال التي ستقع عليها، وإلا فإنها ستعطب بشكل سريع مما يؤدي إلى إتلاف جسم الغرفة وتسرب الحرارة منها بسرعة، إضافة إلى إرهاق العمال الذين سيستخدمونها.



شكل (1. 5): مقطع عرضي للأرضية

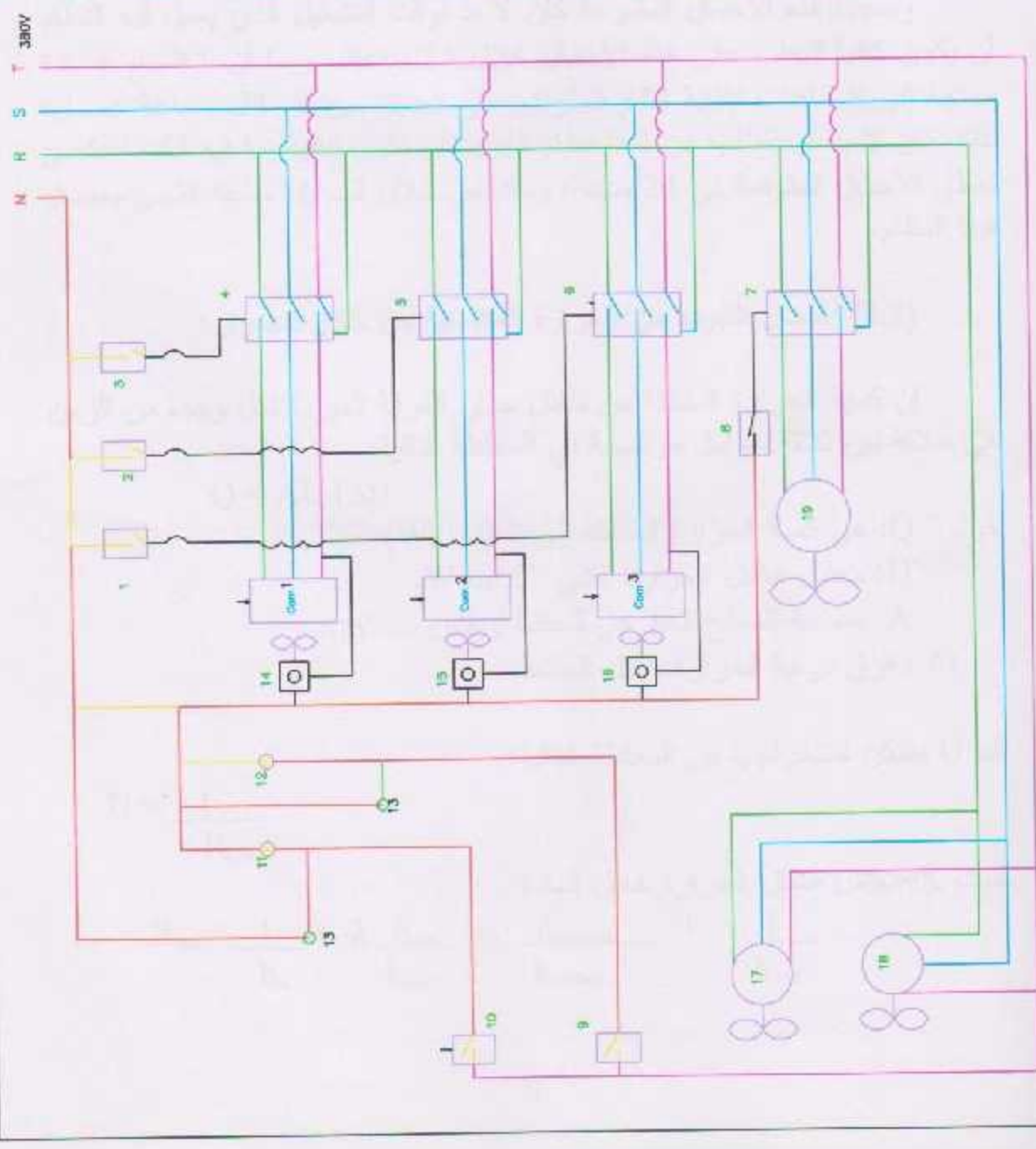
وبشكل عام يمكن توضيح المشروع بشكل تبسيطي مختصر من خلال المخططين التاليين الذين يمثلان الدائرة الميكانيكية والدائرة الكهربائية لتصميم وبناء وحدة تبريد تعمل على عدد من الضواغط بالتوازي.



- ACC Accumulator
- CC Condenser Coil
- CFM Condenser Fan Motor
- COM Compressor
- DLP Discharge Line Pipe
- EC Evaporator Coil
- EXV Expansion Valve
- FD Filter Dryer
- HPS High Pressure Switch
- LPS Low Pressure Switch
- ORC Oil Separator
- PR Pressure Regulator
- RT Receiver Tank
- SLP Suction Line Pipe
- SV Solenoid Valve
- F Float Valve
- CFM Cooling Chamber Motor

Fig(1:6) cooling System Diagram

COM1	Compressor No1
COM 2	Compressor No2
COM 3	Compressor No3
1	Pressure Switch of COM3
2	Pressure Switch of COM2
3	Pressure Switch of COM1
4	ContactoR OF COM 1
5	ContactoR OF COM 2
6	ContactoR OF COM 3
7	Condenser Fan Motor Contactor
8	Pressure Switch
9	Thermostat of Chamber No1
10	Thermostat of Chamber No2
11	Solenoid Valve
12	Solenoid valve
13	Signal Lamp
14	COM1 Cooling Fan
15	COM2 Cooling Fan
16	COM3 Cooling Fan
17	Evaporator Fan Motor
18	Evaporator Fan Motor
19	Condenser Fan Motor
20	



Fig(1:7)

Wiring diagram shows the basics of the Electric circuit

الفصل الثاني

أحمال التبريد

(1.2) مصادر أحمال التبريد:

- في أحمال التبريد التجارية يمكن تقسيم توزيع الأحمال إلى أربعة مصادر:
- (1) حمل انتقال الحرارة من خلال الجدران والسقف والأرضية.
 - (2) الحمل المرافق لتغيير الهواء.
 - (3) الحمل الناتج عن تبريد البضائع من درجة حرارتها الابتدائية إلى درجة حرارة التخزين.
 - (4) الحمل الناتج عن الأشخاص العاملين، والإنارة، والمحركات الكهربائية المستخدمة داخل الغرف.

وبسبب هذه الأحمال المتنوعة كان لا بد لوقت التشغيل الذي يعمل فيه النظام أن يكون كافياً للتغلب على هذه الأحمال خلال 24 ساعة، وبما أن النظام عادة بحاجة إلى 8 ساعات لإذابة الثلج المتراكم على المبخر من كل 24 ساعة عمل، لذلك كان لا بد أن يتطلب من سعة نظام التبريد أن تكون كافية بما فيه الكفاية لكي تغطي الأحمال المتوقعة في 24 ساعة، وذلك من خلال الـ 16 ساعة التي يعمل فيها النظام.

(2.2) أحمال التبريد من الحرارة المكتسبة من خلال الجدران:

إن كمية الحرارة المنقولة من خلال جدار الغرفة المبردة لكل وحدة من الزمن هي علاقة بين ثلاثة عوامل موضحة في المعادلة التالية:

$$Q = AU (\Delta t)$$

حيث Q: هي كمية الحرارة المنقولة إلى الداخل (W).

U: معامل انتقال الحرارة الكلي $W/m^2.C$.

A: مساحة السطح الخارجي للحائط ويقاس بـ m^2 .

Δt : فرق درجة الحرارة خلال الحائط.

أما U فيمكن استخراجها من المعادلة التالية:

$$U = \frac{1}{R_{total}}$$

حيث K=معامل انتقال الحرارة خلال المادة.

$$R_{total} = \frac{1}{h_{in}} + 2 \frac{\delta_{steel}}{k_{steel}} + \frac{\delta_{insulation}}{k_{insulation}} + \frac{1}{h_{out}}$$

h_{out} : معامل انتقال الحرارة بالحمل للجدار الخارجي ويشمل الحائط-السقف-الأرضية $m^2 k/w$

h_{in} : معامل انتقال الحرارة بالحمل إلى الجدار الداخلي والسقف والأرضية.
 δ_s : سمك طبقة صفيحة الفولاذ.

δ_{ins} : سمك طبقة العزل.

k_{st} : معامل توصيل الحرارة للفولاذ المقاوم للصدأ. $w/m.k$

k_{ins} : معامل توصيل الحرارة للعازل.

والجدول التالي يبين مقاومة الفيلم الداخلي R_i والخارجي R_o لجدران غرفة التبريد

العنصر	اتجاه الحرارة	نوع المادة	المقاومة الخارجية $m^2 \cdot ^\circ C/W$	$R_i = \frac{1}{h_i}$ $m^2 \cdot C/W$
حائط	عمودي	مواد مركبة	0.06	0.31
		معادن	0.07	
أسقف	أفقي مقلوب (علوي)	مواد مركبة	0.04	0.21
		معادن	0.05	
أرضيات	أفقي (أرضي)	مواد مركبة	0.09	0.21

جدول (1.2): مقاومات نوع المادة واتجاه الحرارة

أما بالنسبة للسقف فإن الجدول التالي يبين المواصفات المتعلقة بالمادة وسمكها ومقاومتها:

المادة	السمك mm	K $m^2 \cdot ^\circ C/W$
ستينلس ستيل	1	15
بوليوريثان	100	0.025

جدول (2.2): معامل توصيل الحرارة للمادة*

(3.2) حساب المفايد عبر الغرفة (السقف والجدران والأرضية):

(1.3.2) حساب المفايد في السقف:

$$\Lambda = 3 \times 3.5 \quad \text{مساحة السقف}$$

$$= 11.5 \text{ m}^2$$

$$Q = UA (\Delta t)$$

$$R_i = \frac{1}{h_i} = 0.21 \quad \text{من جدول (1.2) فإن}$$

$$R_{th} = \frac{1}{U} = 0.21 + \frac{(0.001) \times 2}{15} + \frac{0.1}{0.025} = 4.25 \text{ m}^2 \cdot \text{C}^\circ/\text{w}$$

$$U = \frac{1}{4.25} = 0.235 \text{ W/m}^2 \cdot \text{C}^\circ$$

إن درجة الحرارة المقاسة داخل حيز غرفة التبريد 25°C

وبالتطبيق المباشر في المعادلة:

$$Q_1 = AU (\Delta t)$$

$$Q_1 = 11.5 \times 0.235 (25-2) \quad \text{حيث إن } 2^\circ \text{C} \text{ هي درجة حرارة غرفة التبريد}$$
$$= 62.15 \text{ W}$$

(2.3.2) حساب المفايد في الجدار:

وبالنسبة للجدار نستخدم المعطيات في الحالة المفترضة وبتطبيقها في المعادلة السابقة فإن المقاومة الحرارية $R_{thermal}$ للفلم تكون:

$$R_{th} = \frac{1}{U} = 0.31 + \left(\frac{0.001 \times 2}{15} \right) + \frac{0.1}{0.025} + 0.07$$

$$= 0.31 + \left(\frac{0.001}{15} \right) \times 2 + \left(\frac{0.01}{0.025} \right) + 0.07$$

$$= 4.38$$

$$\frac{1}{U} = 4.38 \rightarrow U = \frac{1}{4.38}$$

$$U = 0.228 \text{ w/m}^2 \cdot ^\circ\text{C}$$

وبالتطبيق في المعادلة $Q_2 = UA \Delta t$

$$= 0.228 \times ((3.5 \times 2.5) (2) + (3 \times 2.5) (2)) (25 - 2)$$

$$= 170.43 \text{ W}$$

(3.3.2) حساب الفاقد في الأرضية:

$$R_{th} = \frac{1}{U} = 0.21 + \left(\frac{0.002 \times 2}{15} \right) + \frac{0.15}{0.025}$$

$$0.21 = \frac{1}{h_i} = R_i \text{ حيث}$$

$$R_{th} = \frac{1}{U} = 6.2$$

$$U = \frac{1}{6.2} = 0.16 \text{ W/m}^2 \cdot ^\circ\text{C}$$

$$Q_3 = 0.16 * 11.5 (23) = 42.32$$

$$Q_T = Q_1 + Q_2 + Q_3$$

$$Q_T = 170.43 + 62.15 + 42.32$$

$$= 274.9 \text{ W}$$

$$= \frac{274.9}{1000} = 0.274 \text{ kw}$$

مجموع المفاقد من خلال الجدران والأسقف والأرضية يساوي 0.274 kw

(4.2) حساب أحمال البضائع Product Load

يشمل هذا الجزء الحرارة التي يجب أخذها من البضائع والأطعمة داخل الثلجة والتخلص منها إلى الجو الخارجي. حتى تصل الحرارة لهذه المواد إلى الدرجة المطلوبة فوق درجة التجمد لها. إن كمية الحرارة التي تعطى من المواد المبردة إلى الجو المبرد داخل الثلجة تعتمد على درجة حرارة الثلجة وعلى كتلة المواد بالكيلو غرام، وعلى الحرارة النوعية لهذه المواد، والعلاقة الرياضية التالية تحسب هذه الحرارة المكتسبة من المواد المبردة:

$$Q = \frac{(m) (C_p) (\Delta T)}{t}$$

حيث

- Q: كمية الحرارة kJ/kg
m: كتلة المواد المبردة kg
C_p: الحرارة النوعية للمادة فوق درجة التجمد kJ/kg.K
ΔT: التغير في درجة حرارة المواد المبردة °C مؤني.
T: زمن معالجة البضائع (sec).

إن الثلجات في هذا المشروع تحتوي على الخضار والفواكه بمختلف أنواعها، ويظهر من الجداول الخاصة بالخضار والفواكه أن الحرارة النوعية لها متقاربة جداً، لأن الماء من مكوناتها الأساسية وتصل نسبته إلى 90% في معظمها. وحرارتها النوعية تتراوح من 3.6 — 3.85 kJ/kg.K. سيتم استخدام الحد الأعلى من معدل الحرارة النوعية وذلك لضمان معامل أمان.

تقدر حاجة الفندق بـ 1500 كغم من الخضار والفواكه المختلفة، وبناء على ذلك فإن كمية الحرارة التي يفترض التخلص منها حسب المعادلة تكون عند درجة حرارة المواد التقديرية 30م كالاتي.

$$m = 1500 \text{ kg}$$

$$C_p = 3.85 \text{ kJ/kg}$$

$$\Delta t = (30-2)$$

$$= 28 \text{ C}$$

$$Q = 1500 \times 3.85 (30-2)$$

$$= 161.700 \text{ kJ/kg}$$

وبما أن تبريد هذه المواد سيتم خلال 12 ساعة وهو الوقت اللازم لتبريد البضائع في غرفة التبريد لتصل إلى درجة حرارة 2°C، فستصبح المعادلة كما يلي:

$$Q = \frac{m \cdot c_p (\Delta t)}{\text{Time (seconds)}}$$

$$= \frac{1500 \times 3.85 (30-2)}{12(3600)}$$

$$= 3.74 \text{ kW}$$

(5.2) حساب الحمل نتيجة تغير الهواء:

الحرارة المكتسبة من تغير الهواء داخل الثلجة من الصعب تحديده بالضبط، وعندما يعرف معدل كتلة الهواء المتدفق mass flow rate الخارجي الذي يتسرب إلى الحيز المبرد، فإن الحرارة المكتسبة بالإمكان حسابها حسب المعادلة التالية:

$$Q = m (h_o - h_i)$$

حيث:

- Q: الحمل الناتج من تغير الهواء.
- m: كتلة الهواء الداخلة إلى حيز التبريد .kg
- h_o: الانثالي (enthalpy) للهواء الخارجي .J/kg
- h_i: الانثالي للهواء الداخلي .J/kg

تؤخذ قيم (h_i، h_o) من جدول السيكروميترى والتي أخذناها من خلال الظروف التصميمية التي بنينا عليها حساباتنا للمشروع والتي كانت كالآتي:

- (1) درجة حرارة غرفة التبريد 2°C.
- (2) درجة حرارة المبخر -7°C.
- (3) درجة حرارة المكثف 35°C.

وكل ذلك كان باعتمادنا على غاز 134-a كوسيط للتبريد وسيتم توضيح هذه الأمور في الفصل الثالث.

لحساب قيمة (m) فإن:

$$h_o = 75.35 \text{ kJ/kg}$$

$$h_i = 11.42 \text{ kJ/kg}$$

$$V = 0.005 \text{ m}^3$$

$$m = V \times \rho$$

$$\rho = 1.2 \text{ kg/m}^3 \quad (\text{كثافة الهواء})$$

$$m = 0.005 \times 1.2$$

$$= 6 \times 10^{-3} \text{ kg}$$

$$\rho = 6 \times 10^{-3} \times (75.35 - 11.42)$$

$$= 6 \times 10^{-3} \times (63.93)$$

$$= 0.38 \text{ kW}$$

(6.2) حساب أحمال الإثارة والمحركات والأشخاص The Miscellaneous load

يؤخذ بعين الاعتبار في هذا النوع من الأحمال الاستخدام البشري بالإضافة إلى الإثارة ومحركات المراوح، وفي معظم الثلجات من هذا النوع تكون تلك الأحمال صغيرة نسبياً. يتم حسابها كالتالي:

(1.6.2) حساب حمل الإثارة:

إن كل 100 واط تصدر حرارة مقدارها 342 Btu في كل ساعة، و بمعدل 8 ساعات عمل يومياً فإن الحرارة الناتجة هي:

$$342 \times 8 = 2736 \text{ Btu/Day}$$

$$1\text{Btu} = 0.293\text{W}$$

$$2736 \times 0.293 = 0.81\text{kW}$$

هذا في حالة إنارة مقدارها 100 واط، ولكن في مشروعنا فإن إنارة غرفة التبريد مقدارها 60 واط فقط لذلك يصبح الحمل:

$$= 0.81 \times \frac{60}{100}$$

$$= 0.486\text{kw}$$

(2.6.2) حساب حمل المحركات:

المحركات الكهربائية التي تدير المراوح حيث أن كل 1Hp يصدر 4245 Btu لكل ساعة، وكل من المبخرات الموجودة في غرفة التبريد هذه تحتوي على 3 محركات كهربائية قوة كل واحد منها 1/4 Hp.

$$1\text{ Hp يصدر } 4245\text{ Btu/Hr}$$

$$1/4 \times 4245 = 1061.25\text{ Btu}$$

في 24 ساعة عمل لكل محرك $1061.25 \times 24 = 25470\text{ Btu/day}$ حيث أن محركات مراوح المبخر تعمل على مدار الأربع والعشرين ساعة.

وللمحركات الثلاثة يصبح:

$$25470 \times 3 = 76410\text{ Btu/day}$$

$$76410 \times 0.293 = \frac{22388}{1000}$$

$$= 22.388\text{ kw}$$

في حالة الأربع والعشرين ساعة

$$= \frac{22.388}{24} = 0.93\text{kw/hr}$$

وفي الساعة الواحدة

(3.6.2) حساب حمل الأشخاص:

تحديد عدد الأشخاص في الغرفة صعب نوعاً ما وذلك لاعتبارات الملابس والجهد المبذول لكل شخص.

والجدول التالي يبين الاختلاف في كمية الحرارة الصادرة عن الشخص الواحد Btu/person.hr مع اختلاف درجات الحرارة.

كمية الحرارة الناتجة لكل شخص	
°C درجة حرارة التلاجة	كمية الحرارة الناتجة من الشخص Btu/hr
10	720
5	840
1	950
-7	1050
-12	1200
-18	1300
-23	1400

جدول (3.2): العلاقة بين كمية الحرارة الناتجة من الشخص الواحد ودرجات حرارة الحيز المبرد.

على فرض أن شخصاً واحداً يعمل في التلاجة لمدة 8 ساعات تقريباً خلال اليوم عند درجة حرارة 5 مئوية وبناءً عليه تكون كمية الحرارة الناتجة هي:

$$840 \times 8\text{hr} = 6720 \text{ Btu/Day}$$

وبالتالي فإن مجموع هذه الأحمال السابق حسابها في وحدة الـ Btu يكون:

$$6720 + 76410 + 2736 = 85866 \text{ Btu/Day}$$

$$1 \text{ Btu} = 0.293 \text{ W} \quad \text{وحيث أن:}$$

$$85866 \times 0.293 = 25158 \text{ W /day} \quad \text{إذا:}$$

$$25158 / 24 = 1048 \text{ W/Hr}$$

$$= \frac{1048}{1000}$$

$$= 1.048 \text{ kW/hr}$$

وهو مجموع الحمل الناتج عن الأشخاص والإنارة والمحركات

(7.2) الحمل الكلي الناتج وهو مجموع الأحمال السابقة:

الحمل الكلي = حمل الغرفة + الحمل نتيجة تغير الهواء + حمل المواد المبردة
(البضائع) + الحمل الناتج عن الأشخاص والمعدات [kW]

$$= 0.274 + 0.38 + 3.74 + 1.048$$

$$= 5.442 \text{ kW}$$

إن زمن التشغيل المفترض في هذه الدورة هو 16 ساعة عمل للضواغط، لذلك لا بد أن تكون قدرة الضواغط كافية للتغلب على الحمل الموجود في زمن التشغيل المفترض.

وللاحتياط، وحتى لا يحدث أي طارئ فلا بد من وجود معامل أمان يساعد على مواجهة الأحمال الزائدة التي تطرأ على الدورة نتيجة الاستخدام. ومعامل الأمان لهذا المشروع نقره بـ 15%. ولذلك يصبح الحمل المفترض الذي على الضواغط أن تعمل بحسبه هو:

$$\text{Load} = 50442 \times \frac{15}{100} = 0.81 \text{ kW}$$

$$= 6.258 \text{ kW}$$

وهذا هو الحمل الكلي لوحدة التبريد في هذا المشروع.

الفصل الثالث

تحليل وحساب دورة التبريد

State of material	1	2	3	4	5	6

(1.3) مقدمة:

بعد حساب الحمل الكلي والذي يساوي 6.258 kW سيتم تحليل الدورة، من حيث الأجزاء والوظائف والمواصفات لكل جزء.

(2.3) وسيط التبريد Refrigerant.

وقد وقع الاختيار في هذه الدورة على فريون 134a لثمنته بمواصفات غير ضارة بالبيئة لخلوه من الكلور والفلور والكربون، كذلك مناسبه لدرجات الحرارة التي يعمل عندها الضاغط.

ومن أهم صفاته:

- (1) غير سام.
- (2) غير قابل للانفجار.
- (3) غير قابل للاشتعال.
- (4) لا يتفاعل مع النحاس ولا يسبب التآكل.
- (5) ذو درجة تبخر منخفضة.
- (6) غير ضار بجلد الإنسان.

إن وظيفة وسيط التبريد الرئيسية هي نقل الحرارة من الحيز الداخلي لغرفة التبريد إلى الجو الخارجي، إن تبخر الوسيط في المبخر evaporator يعتمد على كمية الحرارة التي يمتصها المبخر من المحيط، وفي المكثف يتم طرد الحرارة التي امتصها الوسيط في المبخر إلى الجو الخارجي.

(3.3) اختيار الظروف التصميمية للدورة.

ظروف تصميم الدورة تكون على النحو التالي:

$$T_c = -7c^\circ \text{ (Evaporator temp.)}$$

$$T_c = 35c^\circ \text{ (Condenser temp.)}$$

ومن خلال تحديد ظروف تصميم الدورة يتم رسم مخطط الانثالبي والضغط (pressure-enthalpy chart)، ويتم استنتاج الضغط وكمية الحرارة (الانثالبي) بحسب الجدول كالتالي:

State Of material	t °C	p bar	h KJ/kg	s KJ/kg.k	u m ³ /kg	x
1	-7	2.5	390	1.72	0.08	1
2	35	9	415	1.72	0.027	--
3	35	9	248	1.15	flued	0
4	-7	2.5	248	1.2	0.025	0.25

جدول (1.3): بيان درجة الحرارة والضغط وحجم بخار الوسيط والانثالبي.

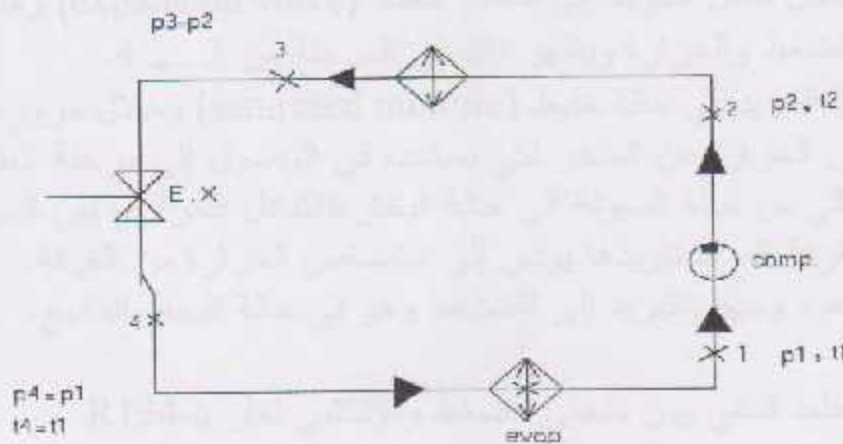
$$h_1 = 390 \text{ kJ/kg}$$

$$h_2 = 415 \text{ kJ/kg}$$

$$h_3 = h_4 = 248 \text{ kJ/kg}$$

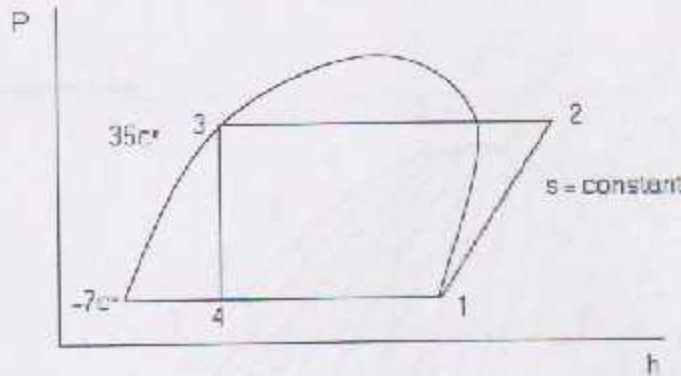
(4.3) اختيار الدورة الرئيسية.

بعد تحديد وحساب الأحمال يتم تحديد كفاءة دورة التبريد والشكل التالي يبين الضغوط ودرجات الحرارة التي تلزم لحساب الكفاءة.



شكل (1.3): دورة انضغاط وسيط التبريد

هذه المراحل التي يمر بها وسيط التبريد خلال دورة مثالية يمكن تمثيلها في منحنى الانتالبي والضغط. والشكل التالي يبين ذلك:



شكل (2.3): مخطط مبسط للانتالبي والضغط في الدورة.

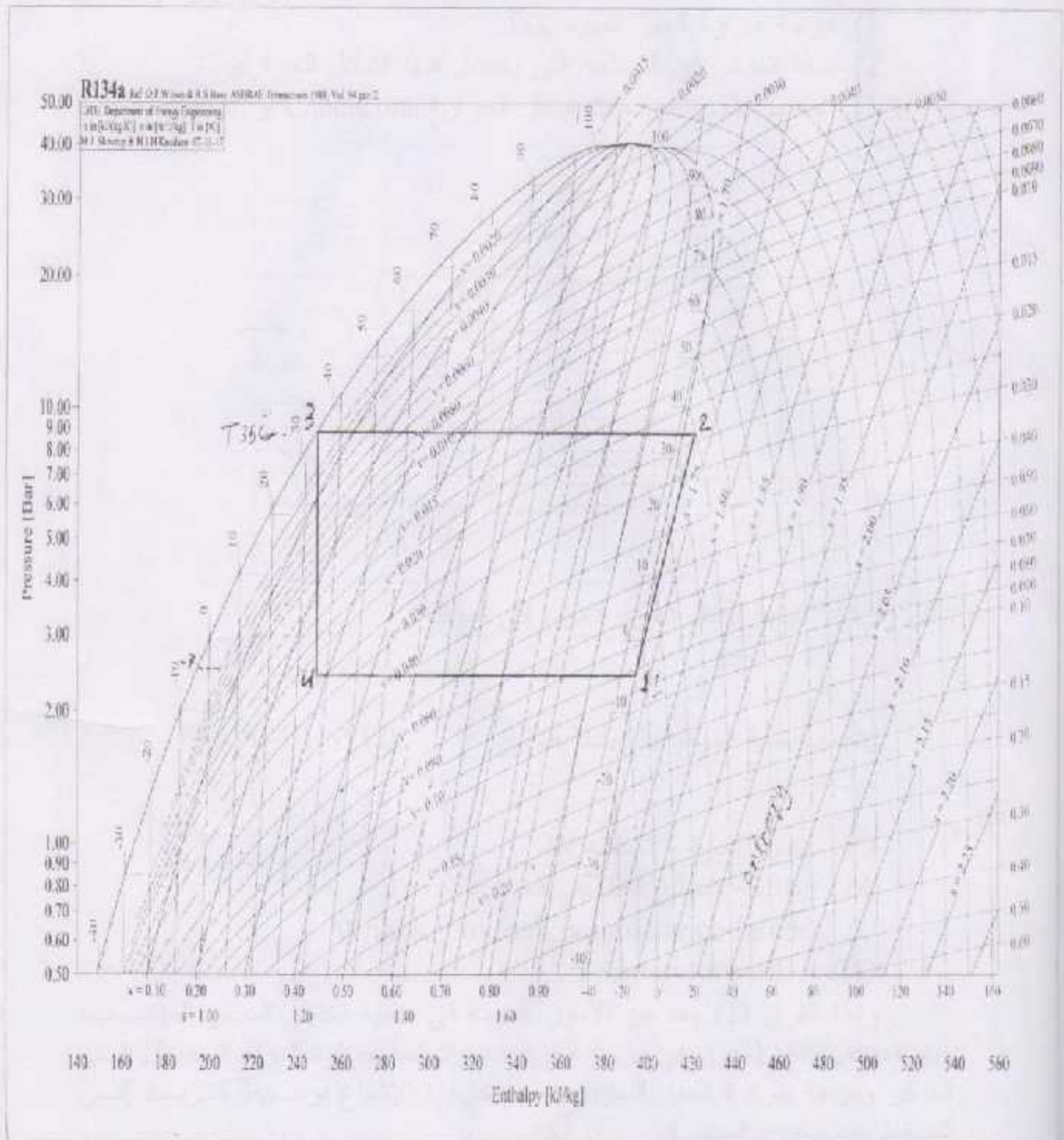
إن دورة انضغاط بخار وسيط التبريد المثالية تبدأ بدخول وسيط التبريد إلى الضاغط وهو بحالة بخار مشبع (saturated vapor) في النقطة 1 في الشكل (2.3)، عندها يتم انضغاط وسيط التبريد فترتفع درجة حرارته وضغطه بشكل سريع وملموس حتى يصل إلى نقطة 2.

وعند وصول وسيط التبريد إلى المكثف في المرحلة من 2 ← 3 فإن كمية الحرارة التي يحملها وسيط التبريد نتيجة الضغط والحرارة الكامنة في المبخر يتخلص منها أثناء مروره في المكثف عبر التبادل الحراري الذي يحصل مع الجو الخارجي نتيجة مرور تيار الهواء المدفوع بواسطة المراوح الكهربائية، وهذا يسبب فقد وسيط التبريد لكمية من الحرارة تؤدي إلى تكاثف وسيط التبريد (saturated liquid) كما هو موضح في المرحلة من 2 ← 3.

ثم بعد ذلك يدخل سائل التبريد إلى صمام التمدد (expansion valve) وهذا يسبب تناقص في الضغط والحرارة ويظهر ذلك في المرحلة من 3 ← 4. ويدخل وسيط التبريد في حالة خليط (saturated mixture) وخلال مروره في المبخر يمتص الحرارة من المبخر لكي يساعده في الوصول إلى مرحلة الغليان والتحول بالتالي من حالة السيولة إلى حالة البخار، فالتبادل الحراري بين المبخر وبين حيز الغرفة المراد تبريدها يؤدي إلى امتصاص الحرارة من الغرفة. ثم بعد ذلك يعود وسيط التبريد إلى الضاغط وهو في حالة البخار المشبع.

والمخطط التالي يبين منحنى الضغط والانتالبي لغاز R134-a

شكل (2.3): مخطط مبسط للانتالبي والضغط لغاز R134-a

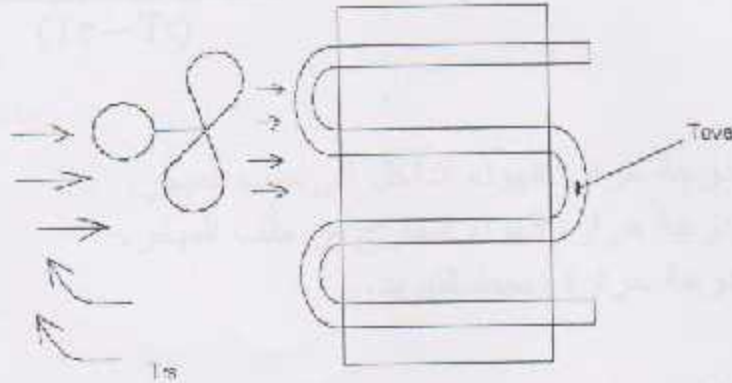


شكل (3.3): المنحنى الرئيسي للثانالي والضغط لغاز R 134-a

(5.3) درجات الحرارة التصميمية:

يتم تحديد درجة حرارة التبخر T_e على أساس:

- (1) درجة حرارة الحيز المبرد $T_{R/s}$.
- (2) سعة المبخر أي المساحة التي يحصل فيها التبادل الحراري.
- (3) تصميم المبخر من حيث انتقال الحرارة Conduction أو Convection.



شكل (4.3): كيفية انتقال الحرارة من وإلى المبخر.

$$Q = A \times U \times TD$$

وتحسب سعة المبخر بالمعادلة التالية:

حيث:

Q : كمية الحرارة المنقولة W .

A : مساحة السطح الخارجي للمبخر.

U : overall conductance factor $W/m^2.k$

TD : Temperature diff.

وهذا الفرق TD يعد من الأمور المهمة في عملية اختيار المبخر المناسب، ويعرف على أنه: (الفرق في درجة الحرارة بين درجة حرارة الهواء الداخل إلى المبخر ودرجة حرارة الحيز المبرد ودرجة حرارة الإشباع لوسيط التبريد إلى الضغط عند مخرج المبخر).

كما أن درجة حرارة وسيط التبريد (R134a) الداخل إلى الضاغط هي نفس درجة حرارة الإشباع عند ضغط المبخر. ودرجة حرارة هذا الوسيط الخارج من المكثف هي نفس درجة حرارة الإشباع عند ضغط المكثف.

وحتى يحصل تبادل حراري بين المبخر والهواء الموجود في الحيز المبرد لا بد من وجود فرق في درجة الحرارة بين المبخر والحيز المبرد. لذلك فإن درجة حرارة الحيز المبرد التي نحتاجها تكون 2°C ، إذا يجب أن يكون فرق درجة الحرارة على الأقل 7°C .

ولزيادة الأمان تم اختيار درجة الحرارة 7°C ليصبح الفرق بين درجة حرارة الحيز المبرد والمبخر $\Delta T = 9^{\circ}\text{C}$.

$$TD = \frac{(T_c - T_r) + (T_o - T_r)}{(T_c - T_r)}$$

حيث:

T_c : درجة حرارة الهواء الداخل إلى ملف المبخر.

T_o : درجة حرارة الهواء الخارج من ملف المبخر.

T_r : درجة حرارة وسيط التبريد.

من خلال هبوط درجة حرارة الهواء عند عبوره 3 صفوف تبريد للمبخر يتم حساب (TD):

$$TD = (2^{\circ}\text{C} - 7^{\circ}\text{C}) + (3^{\circ}\text{C} - 7^{\circ}\text{C})/2$$

$$= \frac{13}{2} = 6.5^{\circ}\text{C}$$

(6.3) حساب عناصر دورة التبريد:

بعد تحديد الظروف التصميمية للتلاجة وحساب الأحمال، ورسم الدورة على مخطط الضغط - انثالبي، تم تحديد الآتي:

- (1) التأثير التبريدي Refrigeration effect
- (2) كمية وسيط التبريد mass flow rate
- (3) قدرة الضواغط (لكل واحد) Comp. power
- (4) معامل الأداء C.o.p
- (5) كمية الشغل work (cycle)
- (6) معدل التدفق الحجمي volume rate
- (7) القدرة التبريدية Power of refrigeration

(1.6.3) التأثير التبريدي للدورة Refrigeration effect

وهو قدرة المبخر evaporator على إحداث التبادل الحراري اللازم لجعل الحيز المبرد يفقد من حرارته ويتمثل ذلك في المعادلة التالية:

$$\text{ref. eff.} = h_1 - h_4$$

h_1 = enthalpy at point 1

h_4 = enthalpy at point 4

$$= 388 - 250$$

$$= 138 \text{ kJ/kg}$$

وهو تأثير المبخر الحراري في الحيز المبرد لكل كغم واحد من وسيط التبريد.

(2.6.3) كمية وسيط التبريد (mass flow rate)

وهو كمية الغاز (وسيط التبريد) التي تمر في الدورة عبر صمام التمدد expansion valve في الثانية الواحدة.

$$\text{mass flow rate} = \frac{Q_{\text{total}}}{q_e}$$

حيث:

Q_t : كمية الحرارة الكلية الناتجة عن الأحمال kW.

q_e : كمية حرارة التبريد المؤثرة للمبخر kJ/kg.

m : كمية وسيط التبريد kg/s.

إن كمية الحرارة الكلية من الأحمال بحسب الفصل السابق كانت:

$$Q = 6.258 \text{ kW}$$

$$m = \frac{6.258 \text{ kW}}{138 \text{ kJ/kg}}$$

$$= 0.045 \text{ kg/s}$$

وهي كمية وسيط التبريد التي تلزم لتمرير من خلال صمام التمدد في الثانية لكي نحصل على كمية الحرارة اللازمة لسحبها.

(3.6.3) قدرة الضواغط النظرية Comp. power

$$\begin{aligned}\text{Compressors power} &= m (h_2 - h_1) \\ &= m \times \text{Work of comp.} \\ &= 0.045 (420 - 388) \\ &= 1.44 \text{ kW}\end{aligned}$$

(4.6.3) كمية الشغل في الضاغط work (cycle)

$$\begin{aligned}w_{\text{cycle}} &= h_2 - h_1 \\ &= 420 - 388 \\ &= 32 \text{ kJ/kg}\end{aligned}$$

(5.6.3) معامل الأداء (C.o.p) Coefficient of performance

$$\begin{aligned}\text{C.o.p} &= \frac{h_1 - h_4}{h_2 - h_1} = \frac{q_c}{w_{\text{cycle}}} \\ &= \frac{138}{32} \frac{\text{kJ/kg}}{\text{kJ/kg}} \\ &= 4.31\end{aligned}$$

(6.6.3) معدل التدفق الحجمي volume flow rate (V)

لمعرفة معدل التدفق الحجمي في مدخل الضاغط (inlet line) يجب معرفة الحجم النوعي (specific volume) لوسيط التبريد في النقطة 1

$$V = m \times C_v$$

حيث:

V = volume flow rate (m^3)

m = flow rate of refrigerant (kg/s)

C_v = specific volume of refrigerant (m^3/kg)

(7.6.3) القدرة التبريدية Power of refrigeration

قدرة الضاغط لكل كيلو واط تبريد تعرف بالمعادلة التالية:

$$\begin{aligned} \text{Power of refrigeration} &= \frac{\text{compressor power}}{Q_{\text{total}}} \\ &= \frac{1.44}{6.258} \\ &= 0.230 \end{aligned}$$

(7.3) اختيار المكثف:

إن المكان الذي سيوجد فيه المكثف له تأثير على عملية التبريد، وبمعنى آخر، يجب أن يكون هناك كمية هواء مناسبة تدخل إلى المكان الموضوع فيه لتبريده وأن يخرج الهواء الساخن إلى الغلاف الخارجي. وبالنسبة لمشروعنا فإن غرفة التبريد فيها شفاط للهواء الساخن المنبعث منها، أي أن تغير الهواء سيكون هادئاً.

إن درجة حرارة التكتف لوسيط التبريد تعتمد اعتماداً أساسياً على متوسط درجة حرارة الهواء الذي يمر من المكثف، أي أن المتوسط الأقل لدرجة حرارة الهواء المبرد للمكثف يؤدي إلى المتوسط الأقل لدرجة حرارة المبر.

وعلى سبيل المثال إذا كان الـ main temperature differenced المطلوب بين وسيط التبريد وبين الوسيط الذي يبرد المكثف (الهواء) هو 8°C فإن متوسط درجة حرارة الوسيط المبرد (الهواء) هو 27°C . وهكذا فللحصول على درجة الحرارة التصميمية للمكثف وهي 35°C نجمع $8^{\circ}\text{C} + 27^{\circ}\text{C}$. كما أن متوسط درجة الحرارة يعتمد أيضاً على سرعة وكمية الهواء المارة عبر المكثف.

سعة المكثف: يتم احتسابها وفقاً للمعادلة التالية:

$$Q = A \times U \times TD$$

حيث:

Q: condenser capacity (k.meter)

A: surface area (m^2)

U: over heat temperature coefficient ($\text{kw}/\text{m}^2 \cdot \text{k}$)

TD: log mean temperature difference between the condensing refrigerant and the condensing medium (Kelvin)

بالنظر إلى العامل (factor) في المعادلة يتبين أنه لأي قيمة ثابتة لـ U فإن السعة للمكثف تتناسب مباشرة طردياً مع مساحة سطح المكثف وفرق درجة الحرارة بين وسيط التبريد المكثف والوسيط المبرد (الهواء) الذي يمر من المكثف وأنه من الواضح أن مساحة سطح المكثف والعامل (factor) U تحدد أثناء عملية تصنيع المكثف.

كمية وارتفاع درجة حرارة المبرد الوسيط (الهواء):

إن المكثفات التي تبرد سواء بالهواء أو بالماء فإن الحرارة التي تختزل من وسيط التبريد في المكثف تؤدي إلى رفع درجة حرارة الهواء المبرد للمكثف والذي يتناسب طردياً مع الحمل الواقع على المكثف ويتناسب عكسياً مع كمية الهواء والحرارة النوعية له.

$$\Delta T = \frac{Q_c}{m(c)}$$

حيث:

T: The temperature rise of the condensing medium and the condenser ($^{\circ}C$)

Qc : The heat rejected of the condenser (kw)

m: mass flow rate of the air in condenser (kg/sec)

c: specific heat of the condensing medium (kj/kg k)

متوسط قيمة (specific heat) للهواء هو 1.02 kJ/kg k

والجدول التالي يبين معامل التصحيح للضواغط المفتوحة:

Table: TD correction factor

Design TD	Correction factor
6k	2.67
8k	2.00
10k	1.60
12k	1.33
14k	1.14
16k	1.00
18k	0.89
20k	0.80
22k	0.73
24k	0.67

جدول (2.3) معامل التصحيح للضواغط المفتوحة.*

وعندما تكون بعض البيانات (Data) غير متوفرة فإن تحديد عمل المكثف يكون عن طريق العلاقة التالية:

$$\text{Condenser load} = (\text{compressor capacity})(\text{heat rejection factor})$$

والجدول التالي يبين معامل انبعاث الحرارة (Heat rejection factor) للضواغط المفتوحة:

Table: Heat Rejection factor: open compressors condensing
Temperature (c°)

Evaporator Temp. (c°)	32	38	43	49	54	60
-34	1.37	1.42	1.47			
-29	1.33	1.37	1.42	1.47		
-23	1.28	1.32	1.37	1.42	1.47	
-18	1.24	1.28	1.32	1.37	1.36	1.47
-12	1.21	1.24	1.28	1.32	1.36	1.42
-7	1.17	1.20	1.24	1.28	1.32	1.37
-1	1.14	1.7	1.20	1.24	1.27	1.32
5	1.12	1.15	1.17	1.20	1.23	1.28
10	1.09	1.12	1.14	1.17	1.20	1.24

جدول (3.3) معامل انبعاث الحرارة من الضواغط المفتوحة.

لقد استخدمنا في مشروعنا ضواغط مفتوحة بحمل تبريدي 8Kw تعمل مع مبخر بدرجة حرارة -7°C وبمكثف بدرجة حرارة 35°C ودرجة حرارة 27°C لـ
a mdient air temperature

ومع هذه المعطيات فإننا نختار الـ Air cooled condenser الذي سيناسب هذه الظروف التصميمية كالآتي:

من الجدول (3.3) فإن الـ heat rejection factor هو 1.20 والـ correction factor لـ 8k هو 2.00

وبتطبيق هذين المعاملين فإن الـ Total heat factor الصحيح سيكون وفقاً للمعادلة:

$$Q_c = (8\text{Kw})(1.20)(2.00) \\ = 19.2 \text{ Kw}$$

وبالرجوع إلى الجدول التالي فيبين أن حجم 5 unit بسعة 22kw هو الأنسب لمشروعنا.

Table: Air Cooled Condenser ratings
Total Heat Rejection At 16k temp. difference

Unit size	No of circuits available	Capacity R 134 - a	
		Total unit K w	k w per. circuit
3	2	13.2	6.60
5	2	22.0	11.00
8	2	35.2	17.60
9	6	35.2	5.87
11	8	43.0	5.37
16	12	63.3	5.28
18	16	74.7	4.67
21	16	85.3	5.33
23	16	96.7	6.04
27	24	109.9	4.58

جدول (4.3) اختلافات الانبعاث الحراري الكلي عند درجة حرارة 16k°.

(8.3) اختيار المبخر:

سيوضع المبخر في سقف غرفة التبريد ويكون معلقاً حيث سيؤثر موقعه على معدل سعته وكذلك على كمية الثلج المتراكم عليه والذي سيكون له تأثير على سعته التبريدية. لذلك لا بد من إعطاء الوقت الكافي لعملية إذابة الثلج، وهذه العملية تحدث أوتوماتيكياً عندما تصل درجة حرارة الغرفة المبردة إلى درجة الحرارة المطلوبة (20°) حيث تتوقف الضواغط عن العمل، ومع استمرار عمل محركات المراوح التي تدفع الهواء من خلال المبخر فإن الهواء يعمل على إذابة الثلج المتراكم على المبخر لأن درجة حرارته تصل إلى أكثر من الصفر.

بنذلك نحافظ على سعة المبخر كاملة لأن تراكم الثلج يعيق عملية التبادل الحراري بين المبخر والهواء المار من خلاله، خاصة وأن درجة حرارة الثلج المتراكم تكون صفر ودرجة حرارة المبخر تكون 7°- ويراعى في تعليق المبخر توجيهه بشكل يخالف فتحة باب الغرفة المبردة حتى لا يندفع الهواء إلى الخارج عند فتح الباب بتأثير المراوح وقد تم اختيار موديل المبخر بناء على حساب سعة وحدة التبريد $KW / K TD$ وفقاً للمعادلة التالية:

$$\frac{Q}{TD} = \text{سعة وحدة التبريد}$$

$$= \frac{6.258}{6.5} = 0.962 \text{ Kw / K}$$

وبالنظر في الجدول رقم (5.3) نجد أن الموديل الأقرب لهذه النتيجة الذي علينا اختياره للمبخر هو UC950

Unit Cooler Capacity Rating And Specification

Model	Rating Kw/K TD	Motor input KW	Air quantity m/s
UC130	0.130	0.093	0.185
UC185	0.185	0.098	0.240
UC235	0.235	0.140	0.330
UC345	0.345	0.154	0.470
UC450	0.450	0.163	0.700
UC550	0.550	0.184	0.820
UC630	0.630	0.220	0.920
UC950	0.950	0.308	1.200

جدول (5.3) سعة وحدة التبريد وتصنيفها *

(9.3) اختيار الضواغط وعددها اثنان:

لاختيار الضواغط المناسب للمعطيات التي وضعت في هذا المشروع فإن البيانات (Data) التالية يجب أن تتوفر وهي:

- 1- السعة التبريدية المطلوبة.
- 2- تحديد درجة حرارة خط السحب المشبعة.
- 3- تحديد درجة حرارة خط الدفع المشبعة.

وأما المعطيات المتوفرة للمشروع فهي:

- * الحمل التبريدي 8Kw.
- * درجة حرارة خط السحب المشبع -7°C .
- * درجة حرارة خط الدفع المشبع 35°C .

* درجة حرارة البخار الراجع إلى الضاغط 3c°.

ومن الجدول (6.3) على درجة حرارة 38c° وهي الدرجة الأقرب إلى درجة حرارة 35c° فإن حرارة التكثف يكون اختيارها من الموديل Eo27 الذي له معدل سعة 41.5 kw عند درجة حرارة خط السحب 10c°-، وله معدل سعة 51.00kw عند درجة حرارة خط السحب 5c°-.

وبناء عليه فإن معدل القدرة على درجة حرارة 7c°- تكون كالتالي:

$$= 41.5 + \frac{(51 - 41.5)}{5k} \times 2k$$

5k

$$= 45.3 \text{ kw}$$

وبما أن لدينا ضاغطين اثنين فإن القدرة تصبح:

$$= \frac{45.3}{2}$$

$$= 22.65 \text{ kw}$$

وهذه هي مواصفات الضاغط الذي يناسب متطلبات مشروعنا

Table R-10 Open Compressor – Refrigerant

Evap. Temp. °C	Cond. Temp. °C	E027				E036				E050			
		Cap. kW	Shaft Power kW	THR kW	Max. Suct Lin Temp.	Cap. kW	Shaft Power kW	THR kW	Max. Suct Lin Temp.	Cap. kW	Shaft Power kW	THR kW	Max. Suct Lin Temp.
-25	27	22.51	8.50	28.49	32	29.89	11.34	35.52	32	39.39	16.11	46.78	32
	38	19.70	9.70	26.38	31	26.38	13.43	33.41	32	35.87	18.58	45.37	32
	49	16.53	10.97	23.86	29	21.81	14.92	28.84	30	33.41	21.48	44.67	31
-20	27	29.54	9.55	35.87	32	37.67	13.20	44.31	32	51.70	18.28	60.49	32
	38	25.81	10.74	33.76	32	34.47	14.92	42.20	32	47.13	20.96	58.38	32
	49	22.16	12.46	31.76	32	29.54	17.08	38.69	32	41.50	23.95	54.16	32
-15	27	37.28	10.37	45.37	32	48.53	14.92	55.92	32	66.12	19.77	75.26	32
	38	33.13	11.56	42.56	32	42.20	16.86	51.35	32	59.09	23.13	72.10	32
	49	28.70	13.25	39.74	32	38.69	19.25	49.24	32	52.05	27.30	66.12	32
-10	27	45.72	10.82	52.05	32	60.84	16.41	69.99	32	90.68	21.34	101.99	32
	38	41.50	12.83	50.29	32	55.57	18.50	67.17	32	84.06	24.39	100.94	32
	49	36.58	14.47	46.07	32	49.59	21.34	62.60	32	78.08	28.57	98.48	32
-5	27	57.33	11.71	65.06	32	74.91	17.53	85.46	32	110.08	22.68	124.50	32
	38	51.00	13.50	61.55	32	68.58	20.52	81.59	32	100.94	26.63	119.23	32
	49	45.02	15.22	56.27	32	59.79	21.56	75.26	32	93.20	30.51	115.71	32
0	27	69.64	12.16	78.78	32	94.96	18.80	110.43	32	134.35	24.18	150.53	32
	38	65.77	14.62	77.37	32	87.93	21.34	103.75	32	126.61	27.53	149.47	32
	49	61.20	16.41	75.62	32	81.59	24.39	101.29	32	119.93	32.53	147.36	32
5	27	88.63	12.83	99.18	32	125.21	19.77	130.13	32	166.70	24.92	186.75	32
	38	78.43	14.99	92.50	32	113.19	22.23	123.80	32	150.53	29.02	176.20	32
	49	69.64	17.31	86.17	32	100.23	25.36	116.06	32	136.40	33.94	166.35	32
60	61.20	20.37	78.43	32	90.39	29.02	107.97	32	122.39	36.55	156.51	32	

جدول (6.3) مواصفات وسيط التبريد للضاغط المفتوحة.

(10.3) اختيار صمام التمدد: (Expansion Valve)

يوجد صمامان للتمدد ويحدد حمل الصمام بالطن التبريدي (Ton refrigeration) وقيمه بالوحدات البريطانية 12000 Btu وبما أن كل 1But = 0.293 w فإن:

$$1 \text{ ton refrigeration} = 12000 \times 0.293$$

$$= \frac{3516 \text{ w}}{1000} = 3.516 \text{ w}$$

وبقسمة الحمل الكلي Q على 2 (عدد الصمامات)

$$\frac{6.258}{2} = 3.129 \text{ w}$$

وبناء عليه يكون الحمل التبريدي لكل صمام هو:

$$= \frac{3.129}{3.516} = 0.889 \text{ طن تبريدي}$$

الفصل الرابع

أجزاء دورة التبريد

(1.4) مقدمة:

تتكون دورة التبريد من أجزاء متعددة ومتباينة في عددها ووظيفتها.

وسيتم بإيجاز شرح تركيب ووظيفة كل عنصر من عناصر دورة التبريد لإعطاء لمحة عن طبيعة عمل تلك المكونات ودورها في النظام.

وهذه هي أسماء الأجزاء الرئيسية في دورة التبريد ورموزها باللغة الإنجليزية

Acc	Accumulator	HBP	High back pressure switch
cc	Condenser coil	LBP	Low back pressure switch
Com	compressor	O.S	oil separator
cfm	Condenser fan motor	P.R	Pressure Regulator
Dlp	Discharge line pipe	R.C	Receiver tank
Efm	Evaporator fan motor	SG	Sight Glass
Ev	Evaporator coil	Slp	Suction line pipe
Ex	Expansion valve	Slv	Solenoid valve
F	filter	S.V	Service valve

جدول (1.4): أسماء الأجزاء الرئيسية في دورة التبريد ورموزها

(2.4) تركيب ووظيفة عناصر دورة التبريد:

(1.2.4) الضاغط Compressor:

الغرض الرئيسي من استخدام الضاغط هو رفع ضغط وسيط التبريد وبالتالي درجة حرارته لدرجة حرارة تشبع أعلى من درجة حرارة الجو المحيط لتحقيق عرضين هما:

1- إحداث التبادل الحراري بين وسيط التبريد الموجود في المكثف والوسط المحيط به.

2- تكثيف وسيط التبريد عند درجة حرارة أعلى من درجة حرارة الوسط المحيط.

وبناء عليه، فإن الضاغط يسحب البخار المتجمع داخل ملفات المبخر بنفس سرعة تكونه حتى لا يسبب تجمع داخل الملفات رفع ضغط وسيط التبريد في خطوط السحب. وبمعنى آخر فإن الضاغط يسحب حرارة من مستوى منخفض وينقله إلى مستوى أعلى في درجة حرارته.

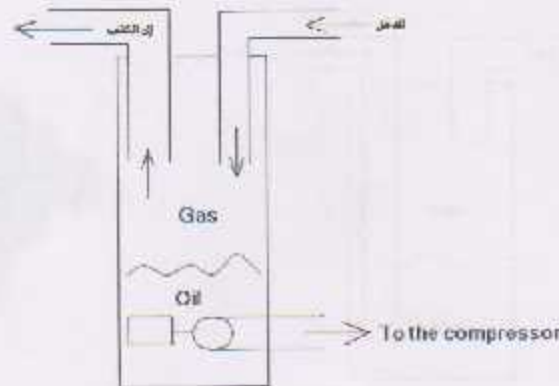
إن التحكم في وحدات التبريد الموصولة على التوازي يتم عادة من خلال تشغيل وإيقاف الضواغط وبذلك يتم التحكم في عملية التبريد بشكل عام. وهذا التحكم في النظام يعتمد على درجة الحرارة بحيث يكون التغيير في درجات الحرارة أساساً للتحكم في تدفق وسيط التبريد عن طريق المفصلات (صمامات كهرومغناطيسية) تقوم بحبس السائل في منطقة الضغط العالي (المكثف والخزان).



شكل (1.4): الضاغط

(2.2.4) فاصل الزيت Oil Separator :

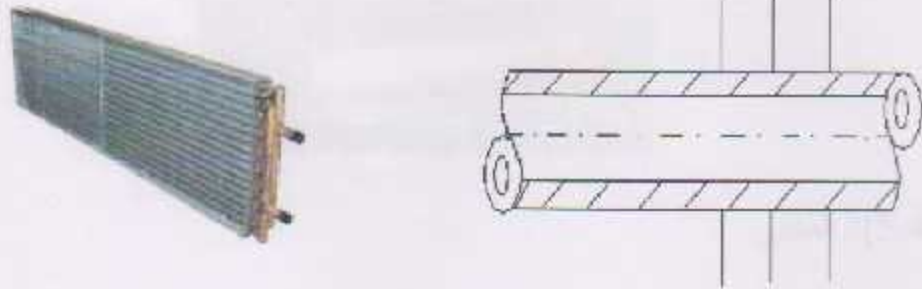
وهو عبارة عن وعاء اسطواني له مدخل ومخرج لوسيط التبريد، حيث يفصل الزيت العالق بالوسيط في قعره ثم يعاد إلى الضواغط عن طريق خط على رأسه عوامة، كلما توفرت كمية من الزيت يرتفع صمام العوامة ويفتح وبحكم الضغط الموجود في هذا الوعاء يندفع الزيت إلى الضواغط. وهذه العملية من ناحية أخرى تمنع تفريغ الضواغط من زيت التليين، لأن سائل التبريد يحمل معه الزيت على شكل رذاذ.



(3.2.4) المكثف Condenser:

هو air-cooled، وظيفته التخلص من حرارة وسيط التبريد التي اكتسبها داخل المبخر، عن طريق تبريد وتكثيف الوسيط المضغوط الخارج من الضاغط وتحويله إلى سائل وهو عبارة عن ملف أنابيب نحاسية متداخلة مع صفائح ألومنيوم لزيادة الكفاءة ويكون عليه مروحة تكون كافية للتخلص من هذه الحرارة مما يساعد على تحويل وسيط التبريد إلى سائل بسبب التبريد والضغط وتكون درجة حرارته 40 درجة مئوية في حين تكون أنابيبه $3/8$.

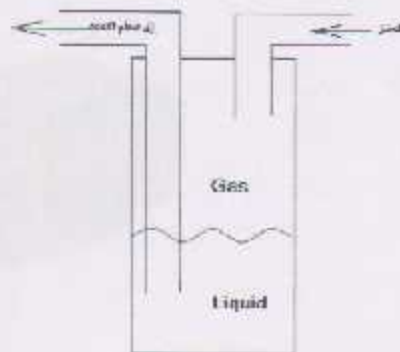
والشكل التالي يبين مقطع من المكثف:



شكل (3.4): مقطع من المكثف

(4.2.4) المستقبل (خزان) Receiver:

وظيفته احتواء سائل التبريد وهو بحالة السيولة من المكثف (Condenser)، ويكون له مدخل للغاز ومخرج للسائل حيث يكون الخط الخارج متصلا بالجزء السفلي الذي يحتوي الجزء السائل من الوسيط ومنه إلى المبخر عن طريق صمام التمدد.



شكل (4.4): المستقبل

والمستقبل المستخدم في المشروع هو بسعة حجمية تقديرياً:

volume capacity = 25 liter

(5.2.4) المنقي (المصفاة) Filter:

وظيفته تصفية الغاز من الشوائب الكيميائية (الغازات النخيلة) ومن الشوائب المادية، حيث يحتوي على مصفاة نقيقة ومادة سيليكات جل لامتصاص الرطوبة الموجودة في شحنة وسيط التبريد.



شكل (5.4): المنقي

(6.2.4) زجاجة رؤية السائل Sight Glass:

وهي عبارة عن زجاجة رؤية تساعد الفني والعامل الذي يعمل في وحدة التبريد على معرفة وضع وحالة وسيط التبريد. بحيث يستدل من خلالها على كمية وسيط التبريد واكتمالها أو نقصها عن طريق النظر خلالها. فإذا كانت شحنة وسيط التبريد كافية فإنه يكون في حالة السيولة أثناء دوران الضاغط، دون وجود فقاعات غازية، أما إذا كانت شحنة سائل التبريد ناقصة لسبب ما فإن الفقاعات (bubbles) تظهر في هذه الزجاجات وتكون بتوصيلات ذات قطر $1/2$ بوصة.



شكل (6.4): زجاجة رؤية السائل

(7.2.4) الصمام الكهرومغناطيسي (السولونويد فالف) Solenoid Valve:

وظيفته إغلاق وفتح دائرة وسيط التبريد حسب الحاجة، لأنه يكون موصول مع ثيرموستات الحرارة ويكون بتوصيلات ذات قطر 1/2". أما الثيرموستات (Thermostat) فيراقب درجة الحرارة، وعندما تصل درجة الحرارة في غرفة التبريد إلى 2°C يفصل الثيرموستات التيار عن الصمام الكهرومغناطيسي للغرفة التي يمدّها بوسيط التبريد، فيعمل هذا الصمام (solenoid valve) على وقف تدفق وسيط التبريد بشكل تام إلى تلك الغرفة، فيهبط الضغط في المبخر وخط السحب (suction line) من 15 psi إلى قرابة 5 psi وبشكل عام يهبط الضغط في خط الراجع إلى الضواغط من 20 psi تقريباً إلى 15 psi، وفي هذه اللحظة يعمل مفتاح الضغط على فصل التيار الكهربائي عن الكونتاكتور (contactor) لأحد الضواغط، الذي يكون معيراً حسب هذا الضغط.



شكل (7.4): الصمام الكهرومغناطيسي

(8.2.4) صمام التمدد Expansion Valve:

يعمل هذا الصمام على تخفيف ضغط وسيط التبريد ثم تمريره بكمية معينة إلى داخل المبخر (evaporator) بحيث يكون عبور الوسيط من خلال الصمام بكمية معينة لتتحول إلى الحالة الغازية بالتدريج. ويحتوي هذا الصمام على انفاخ حساس يربط في آخر المبخر لكي يحس بوصول وسيط التبريد فيعمل على إغلاقه تدريجياً (يخفف السريان) حسب الحاجة، وصمام التمدد هو جهاز ميكانيكي حراري (ملف تمدد) يعمل على تنظيم كمية سائل غاز التبريد الخارج من المكثف والمتجه إلى المبخر ضمن ضغط أقل من ضغط المكثف عبر فتحة nozzle صغير له قيم مختلفة حسب الحمل الموجود.

ويعمل على غاز 134a بقوة 3 طن لكل مبخر، وأما الفوهة (orifice) فهي ذات رقم (0.3) ملم.



شكل (8.4): صمام التمدد

9.2.4) المبخر Evaporator:

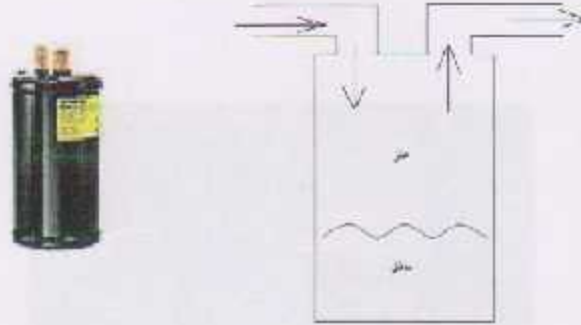
وهو الملف الداخلي في غرفة التبريد مؤلف من أنابيب نحاسية يركب عليها زعانف من الألمنيوم لزيادة كفاءة امتصاص الحرارة، حيث تكون أنابيبه أكبر من أنابيب المكثف $1/2$ لكي تسمح لوسيط التبريد القادم من المكثف بالتحول من حالة السيوولة إلى الحالة الغازية بالتالي تنتقل الحرارة الموجودة في غرفة التبريد إلى وسيط التبريد عن طريق المبخر أي أنه يعمل كمبادل حراري. ويدفع الهواء (الوسيط الناقل للحرارة) عن طريق مراوح تكون قوتها حسب الحاجة. ويركب محرك ومروحة تعمل على دفع الهواء ليتخلل أنابيب وزعانف المبخر. وفي هذا المشروع تكون سعته 3 طن لكل غرفة، وأنابيبه بسماكة $1/2$ ، ويركب عليه 3 مراوح بمحركات قوتها $1/3$ حصان للمحرك الواحد.



شكل (9.4): المبخر

(10.2.4) المجمع (الخران) Accumulator:

يعمل هذا الخزان على استقبال وسيط التبريد العائد من المبخر في طريقه إلى الضاغط، فإذا كان هذا المائع ممزوجاً بالسائل، فإنه يعمل على فصل السائل في أسفله والسماح للغاز بالخروج إلى الضواغط، لأن دخول السوائل إلى الضواغط يؤدي إلى عطب صماماتها.



شكل (10.4): المجمع

(11.2.4) المنظم الحراري (الثيرموستات) Thermostat:

ووظيفته مراقبة درجة حرارة غرفة التبريد، ويعمل على تنظيم درجة حرارة الهواء الخارج من المبخر والداخل إلى غرفة التبريد، ويعمل كذلك على منع تجمد الماء الناتج من الرطوبة الزائدة الموجودة بالهواء الذي يتكثف على أنابيب وزعانف المبخر.

ويتم التحكم بدرجة الحرارة بواسطة تحريك المفتاح. ويحصل الإحساس بدرجة حرارة الهواء الخارج من المبخر عن طريق أنبوب حساس يركب في مجرى الهواء الخارج وينقل حرارة هذا الهواء إلى مزدوجة حرارية (بلاتين) تفصل التيار عن ملف الصمام الكهرومغناطيسي (سولونيد فالف) في حالة برودة الهواء لأكثر من الدرجة المعير عليها المنظم، ثم يعاد وصل التيار عندما ترتفع درجة حرارة الهواء. تعمل مراقبات درجة الحرارة (الثيرموستات) المركبة في هذا النظام على تشغيل وإيقاف صمامات كهرومغناطيسية مركبة في مجرى سريان وسيط التبريد المتجه إلى كل غرفة تبريد، حيث يتم التحكم في كل غرفة على حدة دون التعرض للضواغط من تشغيل أو إيقاف بشكل مباشر.

وعندما تقوم الضواغط بضخ وسيط التبريد إلى المكثف يفقد المائع جزءاً من حرارته نتيجة مرور الهواء من خلال المكثف، وبالتالي يتحول من الحالة الغازية إلى الحالة السائلة.

يمر وسيط التبريد هذا وهو في حالة ضغط مرتفع يصل إلى 300 - 350 psi إلى كلتا الغرفتين بحيث يتوزع الخط الخارج من الخزان إلى خطين ليزود كل

غرفة تبريد على حدة. وعندما يصل وسيط التبريد إلى صمام التمدد (Expansion valve) بمعدل تدفق للوسيط يعتمد على فرق الضغط الذي يحصل بين رأس الإبرة في الصمام ودرجة فتحة الصمام المثبتة (المعيّرة) يعمل صمام التمدد على التحكم بتدفق وسيط التبريد حسب حاجة المبخر، لذلك فهو يعتمد في عمله على الحمل الموجود في داخل الغرفة، فإذا كان الحمل كبيراً يعمل الصمام على جعل تدفق سائل التبريد في أقصى طاقة، وحينما ينخفض الحمل وتقترب درجة الحرارة من الحد المطلوب، يعمل الصمام على تخفيف تدفق سائل التبريد. وهكذا يستمر التدفق في حالتي الزيادة والنقصان بحسب الحاجة.



شكل (11.4): المنظم الحراري

(12.2.4) قاطع الحمل Over Load: وهو قاطع وقاية من زيادة الحمل.

(13.2.4) مفاتيح كهرومغناطيسية Relays: تستخدم ريليهات مختلفة تعمل على إغلاق وفتح الدوائر الكهربائية.

(14.2.4) مفتاح ضغط (pressure stat) Switch:

ويحكم بضبط الضغط المنظم وهذا المفتاح يعمل على ضغط غاز التبريد، وهو يعمل في حالتين:

(أ) حالة الضغط المنخفض: فإذا فقدت شحنة وسيط التبريد من الوحدة فإنه يعمل على فصل الضواغط من الكهرباء لحمايتها من العطب، ويكون الضغط بحدود 5-2 psi.

(ب) حالة الضغط المرتفع: يكون هذا الضغط مبرمج بحسب الوحدة ونوع وسيط التبريد فهو يعمل على فصل التيار الكهربائي عن الضاغط في حال ازداد ضغط المكثف لأي سبب كان (توقف المراوح مثلاً)، لأن زيادة الضغط تؤدي إلى عطب الضاغط مما يترتب عليه زيادة في تكاليف الصيانة وتلف للمواد محفوظة. ويكون الضغط الزائد ما بين 250-350 psi.

يكون تتابع عمل مفاتيح الضغط (pressure switches) للضواغط كالتالي:

(1) عندما يكون ضغط السحب (suction line pressure) 20 psi فأكثر فإن الضواغط جميعها تعمل.

(2) عندما يصل ضغط السحب بين 15-20 psi فإن أحد مفاتيح الضغط يفصل أحد الضواغط.

(3) عندما يصبح ضغط السحب أقل من 10-15 psi فإن مفتاح ضغط آخر يفصل ضاغط ثان.

(4) إذا هبط الضغط إلى أقل من 10 psi نتيجة توقف تدفق وسيط التبريد إلى الغرفتين معاً عند اكتمال عملية التبريد فإن مفتاح الضغط الثالث يفصل الضاغط الثالث أيضاً.

وعند ارتفاع درجة الحرارة في أي من غرف التبريد، يعطي الثيرموستات الإشارة للصمام الكهربائي بفتح تدفق وسيط التبريد، حيث يرتفع الضغط في المبخر وخط السحب للضواغط، فتحدث عملية عكسية في تشغيل الضواغط، أي بمجرد وصول الضغط إلى 10 psi يعمل الضاغط رقم 3 وإذا زاد التدفق نتيجة فتح الصمام التابع للغرفة الثانية وارتفع الضغط إلى 15 psi فإن الضاغط رقم 2 يدخل في دائرة العمل وهكذا تكون عملية التشغيل والإيقاف حسب درجة الحرارة متعلقة بضغط وسيط التبريد وبذلك يتم التحكم في دورة التبريد بشكل عام.

ومن ناحية عملية يكون لكل غرفة تبريد ثيرموستات لمراقبة درجة الحرارة وصمام كهرومغناطيسي للتحكم في تدفق وسيط التبريد أو عدمه، ويكون لكل ضاغط مفتاح ضغط معيّر على معدل ضغط سحب يختلف عن الآخر بحسب ما ذكرنا آنفاً، 10-15-20 psi على التوالي.

وهناك فائدة أخرى مهمة لمفاتيح الضغط، وهي أنه في حالة فقد وسيط التبريد من أنابيب الدورة وتسريه، فإن الضواغط تبقى معطلة فلا تعمل لهبوط

الضغط إلى أقل من 10 psi وهذا يؤدي إلى حمايتها من التلف وذلك لعدم وجود شحنة من مائع التبريد في دورة النظام.



شكل (12.4): مفتاح ضغط

(15.2.4) الأنابيب Pipes: وتقسّم إلى قسمين:

(1) خط الدفع: وهو الخط الناقل لوسيط التبريد من الضواغط إلى أن يصل صمام التمدد ويكون قطره في هذه الدورة "1/2".

(2) خط السحب: ويبدأ من بداية المبخر إلى أن يصل إلى الضواغط، ويكون قطر الأنابيب فيه أكبر من قطر أنابيب الدفع.



شكل (13.4): الأنابيب

(16.2.4) محركات المراوح Fan motors:

في الوحدات البخارية تحتاج المكثفات للتبريد باستخدام الهواء المدفوع لتصغير حجمها، ولإعطاء كفاءة أكبر وذلك للتخلص من الحرارة الزائدة الكامنة في وسيط التبريد وتعتمد في حجمها على حجم الوحدة.

كما أن المبخر في داخل الحيز المبرد يحتاج إلى دفع الهواء من خلاله للمساعدة في الإسراع في عملية نقل الحرارة أيضاً من الهواء إلى المبخر ثم إلى وسيط التبريد، لذلك تلزم محركات تقوم بتحريك هذه المراوح.



← المحرك

شكل (14.4): محركات مراوح
:Pressure regulator منظم الضغط (17.2.4)

يركب هذا المنظم في نهاية خط السحب قبل الضاغط ليحافظ على ضغط شبه منتظم (ثابت) داخل المبخر.



شكل (14.4): منظم ضغط

(18.2.4) صمام الخدمة (Service valve)

ويستخدم في حالة الصيانة لأي جزء من أجزاء دورة التبريد. على سبيل المثال إذا كانت هناك حاجة لفصل الضاغط يتم إغلاق هذا الصمام الموجود على خطي الدفع والسحب، وبعد إغلاقه يتم إخراج الضاغط من مكانه وإجراء الصيانة له دون فقد شحنة غاز التبريد ودون أن تعطل الدورة.

(1) المراجع الأجنبية:

- 1) Refrigeration And Air Conditioning.
- 2) Heating And Air Conditioning.
Mohammad A. Alsaad.
Mahmoud A. Hammad.
- 3) Principles Of Refrigeration-second Edition.
Roy J. Dossat
Second Edition.
- 4) Modern Refrigeration And Air Conditioning.
Andrew O. Al Thuouse
Carl H. Turanquist
Alfred F. Bracciano

المراجع العربية:

- (1) التحكم في أجهزة التبريد والتهوية وتكييف الهواء.
عميد مهندس إبراهيم القرضاوي.
الناشر: منشأة المعارف بالإسكندرية.
رقم الإيداع: 86/71934.
- (2) أساسيات تكييف الهواء لمهندسي العمارة.
إعداد دكتور مهندس رشدي محمد حمودة.
دار الزايتب الجامعية.
- (3) تكنولوجيا التبريد والتهوية وتكييف الهواء.
المهندس الاستشاري عميد إبراهيم محمد عثمان.
الناشر: منشأة المعارف بالإسكندرية.
رقم الإيداع: 1990/3408.
- (4) مواقع مختلفة على الإنترنت.